

Министерство науки и высшего образования Российской Федерации  
ФЕДЕРАЛЬНОЕ ГОСУДАРСТВЕННОЕ БЮДЖЕТНОЕ ОБРАЗОВАТЕЛЬНОЕ УЧРЕЖДЕНИЕ ВЫСШЕГО ОБРАЗОВАНИЯ  
**«Санкт-Петербургский государственный университет  
промышленных технологий и дизайна»  
Высшая школа технологии и энергетики  
Кафедра промышленной теплоэнергетики**

# **ТОПЛИВО И ПРОЦЕССЫ ГОРЕНИЯ В ТЕПЛОЭНЕРГЕТИЧЕСКИХ УСТАНОВКАХ**

## **РАСЧЕТ ПРОЦЕССОВ ГОРЕНИЯ В ТЕПЛОЭНЕРГЕТИЧЕСКИХ УСТАНОВКАХ**

### **Выполнение курсовой работы**

Методические указания для студентов очной формы обучения  
по направлению подготовки:  
13.03.01 — Теплоэнергетика и теплотехника

Составители:  
В. Н. Белоусов  
С. Н. Смородин  
К. И. Мисютина

Санкт-Петербург  
2024

Утверждено  
на заседании кафедры ПТЭ  
28.11.2023 г., протокол № 3

Рецензент Н. Н. Гладышев

Методические указания соответствуют программам и учебным планам дисциплины «Топливо и процессы горения в теплоэнергетических установках» для студентов, обучающихся по направлению подготовки 13.03.01 «Теплоэнергетика и теплотехника». В методических указаниях представлены основы расчетов процесса сжигания органического топлива, порядок выполнения курсовой работы и подготовки к контролю усвоения дисциплины, а также содержатся расчетные задания по следующим разделам: состав и теплотехнические характеристики топлива, материальный баланс процесса горения, тепловой баланс процесса горения.

Методические указания предназначены для бакалавров очной формы обучения.

Утверждено Редакционно-издательским советом ВШТЭ СПбГУПТД  
в качестве методических указаний

**Режим доступа: [http://publish.sutd.ru/tp\\_get\\_file.php?id=202016](http://publish.sutd.ru/tp_get_file.php?id=202016), по паролю.  
- Загл. с экрана.**

**Дата подписания к использованию 20.02.2024 г. Рег.№ 5246/23**

**Высшая школа технологии и энергетики СПб ГУПТД  
198095, СПб., ул. Ивана Черных, 4.**

© ВШТЭ СПбГУПТД, 2024

## **СОДЕРЖАНИЕ**

<b>ВВЕДЕНИЕ .....</b>	<b>4</b>
Часть 1. Определение расчетных характеристик твердого топлива, классификация твердого топлива, условное топливо .....	5
Часть 2. Статика горения. Материальный и тепловой баланс процесса горения твердого, жидкого и газообразного топлива.	
Графоаналитический метод определения температуры горения .....	6
Часть 3. Расчет газовой горелки .....	11
<b>БИБЛИОГРАФИЧЕСКИЙ СПИСОК.....</b>	<b>16</b>
<b>ПРИЛОЖЕНИЕ .....</b>	<b>17</b>

## **ВВЕДЕНИЕ**

При изучении курса «Топливо и процессы горения в теплоэнергетических установках» необходимо ознакомиться с содержанием тем, представленных в пособии, а затем изучить материал по рекомендованной литературе. При изучении материала следует обращать внимание на физический смысл рассматриваемого явления и формулы, описывающей его.

При выполнении курсовой работы необходимо соблюдать следующие требования:

1. Переписывать полностью текст каждого задания.
2. Указывать словами, какая величина вычисляется, привести соответствующую формулу.
3. Для каждой найденной величины следует указывать размерность.
4. В тексте решения каждого задания необходимо придерживаться терминов и обозначений, принятых в учебной литературе.
5. Выбор варианта задания следует производить по порядковому номеру студента в списке или по заданию преподавателя.

Курсовая работа для студентов очного отделения состоит из трех частей и базируется на следующих темах:

Часть 1. Состав и теплотехнические характеристики твердого топлива, классификация твердого топлива, условное топливо.

Часть 2. Статика горения. Материальный баланс процесса горения твердого, жидкого и газообразного топлива. Тепловой баланс процесса горения различных видов топлива, определение теоретической, адиабатической и действительной температур горения.

Часть 3. Расчет газовой горелки.

# ЧАСТЬ 1. ОПРЕДЕЛЕНИЕ РАСЧЕТНЫХ ХАРАКТЕРИСТИК ТВЕРДОГО ТОПЛИВА, КЛАССИФИКАЦИЯ ТВЕРДОГО ТОПЛИВА, УСЛОВНОЕ ТОПЛИВО

Состав рабочей массы топлива выбирается в соответствии с вариантом (порядковый номер в списке группы) из табл. 1.1.

*Задание 1.1.* Пересчитать состав топлива на сухую, беззольную и горючую (сухую беззольную) массу [1].

*Задание 1.2.* Исходя из заданного состава топлива, сделать мотивированное заключение, к какому виду углей (*бурый* или *каменный*) относится данное топливо? [1].

*Рекомендации:*

- по формуле Менделеева рассчитать *низшую* теплоту сгорания *рабочей* массы топлива [1];
- пересчитать низшую теплоту сгорания *рабочей* массы на *высшую* [1];
- пересчитать *высшую* теплоту сгорания *рабочей* массы топлива на *беззольную* массу [1];
- по полученной высшей теплоте сгорания беззольной массы сделать вывод о принадлежности данного топлива к *бурым* или *каменным* углям [1].

*Задание 1.3.* Рассчитать теплоту сгорания рабочей массы топлива пониженного качества (*повышенный внешний балласт*) – влажность и зольность увеличивается до ближайшего численного значения *кратного 5*.

Пример:  $W_1 = 10.5\% \rightarrow W_2 = 15\%$ ,  
 $A_1 = 17.9\% \rightarrow A_2 = 20\%$ .

Сделать вывод о влиянии внешнего балласта на теплотворную способность.

*Задание 1.4.* Определить расход *условного* и *заданного* (см. табл. 1.1) топлива ( $B_t$ , кг/с) для водогрейного котла со следующими расчетными характеристиками:

- расход воды  $G_b = 50 + 75 \cdot n$ , т/час;
- температура воды на входе  $t_{bx} = 70^\circ C$ ;
- температура воды на выходе  $t_{byx} = 150^\circ C$ ;
- давление воды  $P_b = 2$  МПа;
- КПД котла  $\eta = 92 + 0,1 \cdot n\%$ .

Здесь:  $n$  – номер варианта.

*Рекомендации:*

Расчет выполняется на базе уравнения теплового баланса водогрейного котла:

$$Q_i^r \cdot B_t \cdot \eta = G_b \cdot (i_{byx} - i_{bx}),$$

где  $Q_i^r$  – низшая теплота сгорания топлива, кДж/кг,

$B_t$  – расход топлива, кг/с,

$\eta$  – КПД котла,

$i_{bx}$ ,  $i_{byx}$  – энталпия воды на входе и на выходе, кДж/кг.

## ЧАСТЬ 2. СТАТИКА ГОРЕНИЯ. МАТЕРИАЛЬНЫЙ И ТЕПЛОВОЙ БАЛАНС ПРОЦЕССА ГОРЕНИЯ ТВЕРДОГО, ЖИДКОГО И ГАЗООБРАЗНОГО ТОПЛИВА. ГРАФОАНАЛИТИЧЕСКИЙ МЕТОД ОПРЕДЕЛЕНИЯ ТЕМПЕРАТУРЫ ГОРЕНИЯ

### Цель и порядок расчета

1. Исходя из заданного вида топлива и его состава, рассчитать теплоту сгорания  $Q_i^r$  ( $Q_i^d$ ) и располагаемую теплоту топлива  $Q_p$  (уголь, мазут, газ).
2. Рассчитать теоретический объем воздуха  $V_e^o$ , необходимого для полного сгорания топлива, и теоретический объем продуктов сгорания  $V_e^o$ .
3. Выбрать оптимальное (для данного вида топлива) значение коэффициента избытка воздуха  $\alpha$  и рассчитать действительные объемы воздуха  $V_e$  и продуктов сгорания  $V_e$ .
4. Составить уравнение теплового баланса камеры сгорания, выбрать или рассчитать потери тепла в камере сгорания  $q_3, q_4, q_5, q_6$  и определить теоретическую, адиабатическую и действительную температуру газов на выходе из камеры сгорания  $\vartheta_{ксг}$ .

### Исходные данные для расчета

Вид и состав расчетного топлива (табл. 2.1-2.3);  
 $\alpha$  – коэффициент избытка воздуха;  
 $q_3, q_4, q_5, q_6$  – потери теплоты в камере сгорания (%) – принимаются в соответствии с рекомендациями, приведенными ниже.

Схема процесса горения топлива представлена на рис. 2.1.

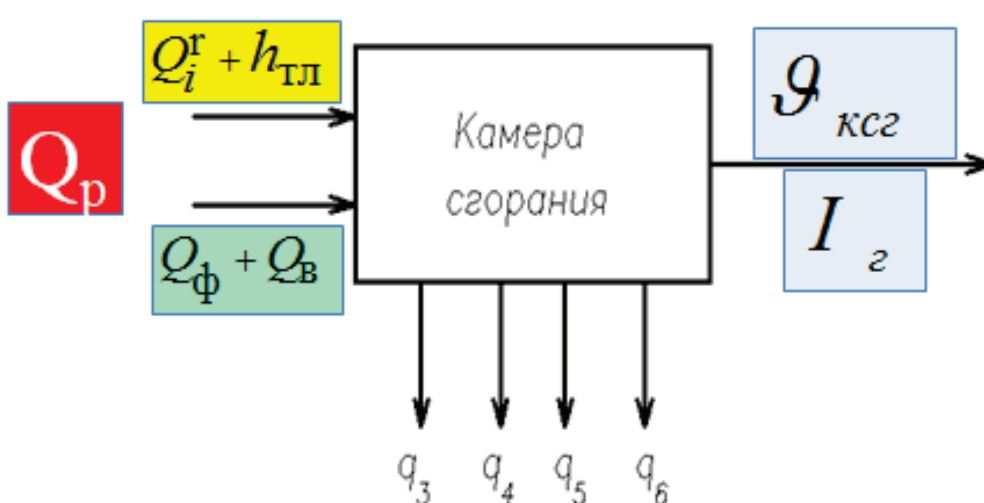


Рисунок 2.1 – Расчетная схема камеры сгорания

### Методика расчета и рекомендации

1. Теплота сгорания твердого и жидкого топлива  $Q_i^r$  (кДж/кг) определяется, исходя из состава топлива, с помощью эмпирической формулы Д.И. Менделеева [1].

Теплота сгорания газообразного топлива  $Q_i^d$  (кДж/м<sup>3</sup>) рассчитывается с учетом объемных долей и теплоты сгорания отдельных компонентов [1].

Располагаемая теплота газового топлива принимается равной низшей теплоте сгорания сухого газа  $Q_p = Q_i^d$ , а для твердого и жидкого топлива учитывается физическая теплота топлива  $h_{ml}$ , которая зависит от температуры и теплоемкости поступающего на горение топлива:

$$h_{ml} = c_{ml} \cdot t_{ml},$$

где  $c_{ml}$  – удельная теплоемкость топлива, кДж/(кг·°C);

$t_{ml}$  – температура топлива, °C.

Температура твердого топлива (для летнего периода) принимается  $t_{ml} = 20$  °C, а теплоемкость топлива определяется по формуле:

$$c_{tl} = 0,042 W^r + C_{tl}^d (1 - 0,01 W^r), \text{ кДж/(кг·°C).}$$

Теплоемкость сухой массы топлива  $C_{tl}^d$  принимается по среднестатистическим данным, кДж/(кг·°C):

- бурый уголь – 1,13;
- каменный уголь – 1,09;
- антрацит, полуантрацит, тощий уголь – 0,92.

Температура мазута для обеспечения тонкого распыла в форсунках котельного агрегата должна быть достаточно высокой и принимается в расчетах  $t_{ml} = 90 \div 140$  °C.

Теплоемкость мазута  $c_{tl} = 1,74 + 0,0025 t_{tl}$ , кДж/(кг·°C).

При распылении мазута с помощью паромеханических форсунок в камеру сгорания вместе с разогретым мазутом поступает пар, который вносит в камеру сгорания дополнительную теплоту  $Q_\phi$ , определяемую по формуле:

$$Q_\phi = G_\phi (h_\phi - 2380), \text{ кДж/кг,}$$

где  $G_\phi$  – удельный расход пара, кг пара/кг мазута;

$h_\phi$  – энталпия пара, поступающего в форсунку, кДж/кг.

Удельный расход пара принимается в диапазоне  $G_\phi = 0,03 \div 0,05$  кг/кг, а энталпия пара  $h_\phi$ , поступающего на распыл мазута, определяется из соответствующих справочников или таблиц по давлению  $P_n = 0,3 \div 0,6$  МПа и температуре  $t_h = 280 \div 350$  °C. При отсутствии справочных данных можно принять  $h_\phi = 3000 \div 3200$  кДж/кг.

Тепло, вносимое с воздухом, кДж/кг (кДж/м<sub>3</sub>):

$$Q_e = \alpha \cdot V_e^o \cdot c_e \cdot t_e,$$

где  $c_e$  – теплоемкость воздуха при температуре  $t_e$ .

Потери теплоты с химическим и механическим недожогом  $q_3$  и  $q_4$ , а также оптимальное значение коэффициента избытка воздуха в камере сгорания  $\alpha$  выбираются, в зависимости от вида сжигаемого топлива, по табл. 2.4.

Потери теплоты в окружающую среду  $q_5$  принимаются произвольно в диапазоне от 0,5 до 1 %.

Потери с физической теплотой удаляемого шлака  $q_6$  учитываются только для многозольных топлив, когда  $A^r > 2,5Q_i^r$ , где  $Q_i^r$  выражено в МДж/кг. Расчет потерь с физической теплотой шлаков ведется по формуле:

$$q_6 = \frac{a_{шл}(ct)_{шл} A^r}{Q_p} , \% ,$$

где  $a_{шл} = 0,05$  – доля золы в шлаке,

$(ct)_{шл} = 560$  кДж/кг – энталпия шлака (принимается при  $t_{шл} = 600$  °C).

2. Теоретические объемы воздуха  $V_e^o$  ( $\text{м}^3/\text{кг}$ ) и продуктов сгорания твердого и жидкого топлива  $V_{RO_2}^o$ ,  $V_{N_2}^o$ ,  $V_{H_2O}^o$ ,  $V_e^o$  ( $\text{м}^3/\text{кг}$ ) определяются, исходя из состава топлива (табл. 2.1-2.2), на основе материального баланса процесса горения [2].

Теоретические объемы воздуха  $V_e^o$  ( $\text{м}^3/\text{м}^3$ ) и продуктов сгорания газообразного топлива  $V_{RO_2}^o$ ,  $V_{N_2}^o$ ,  $V_{H_2O}^o$ ,  $V_e^o$  ( $\text{м}^3/\text{м}^3$ ) определяются, исходя из состава топлива (табл. 2.3), на основе материального баланса процесса горения [2].

3. Действительные объемы воздуха  $V_e$  ( $\text{м}^3/\text{кг}$ ;  $\text{м}^3/\text{м}^3$ ) и продуктов сгорания топлива  $V_{RO_2}$ ,  $V_{N_2}$ ,  $V_{H_2O}$ ,  $V_e$  ( $\text{м}^3/\text{м}^3$ ) рассчитываются с учетом выбранного коэффициента избытка воздуха (табл. 2.4) [2].

4. Действительная температура газов на выходе из камеры сгорания определяется из уравнения теплового баланса камеры сгорания:

$$Q_p \cdot \frac{100 - \sum q_i^{kce}}{100} = I_{kce} , \quad (2.1)$$

где  $Q_p = Q_i^r + h_{ml} + Q_\phi + Q_e$  – располагаемая теплота,  $\frac{\text{кДж}}{\text{кг}} \left( \frac{\text{кДж}}{\text{м}^3} \right)$ ;

$\sum q_i^{kce} = q_3 + q_4 + q_5 + q_6$  – сумма потерь теплоты в камере сгорания, %;

$I_{kce} = I_e^o + (\alpha - 1) \cdot I_e^o$  – энталпия продуктов сгорания,  $\frac{\text{кДж}}{\text{кг}} \left( \frac{\text{кДж}}{\text{м}^3} \right)$ .

Энталпии теоретических объемов воздуха и продуктов сгорания при коэффициенте избытка воздуха  $\alpha=1$  для всех видов топлива (кДж/кг, кДж/м<sup>3</sup>):

$$I_e^o = V_e^o (с\vartheta)_v ;$$

$$I_e^o = V_{RO_2}^o (с\vartheta)_{RO_2} + V_{H_2O}^o (с\vartheta)_{H_2O} + V_{N_2}^o (с\vartheta)_{N_2} .$$

В приведенных формулах:  $(с\vartheta)_v$ ,  $(с\vartheta)_{RO_2}$ ,  $(с\vartheta)_{H_2O}$ ,  $(с\vartheta)_{N_2}$  – энталпии  $1 \text{ м}^3$ , соответственно, воздуха, трехатомных газов, водяных паров и азота.

Таким образом, энталпия продуктов сгорания при избытке воздуха  $\alpha > 1$  в камере сгорания:

$$I_{kce} = I_e^o + (\alpha - 1) \cdot I_e^o = V_{RO_2}^o (с\vartheta)_{RO_2} + V_{H_2O}^o (с\vartheta)_{H_2O} + V_{N_2}^o (с\vartheta)_{N_2} + (\alpha - 1) V_e^o (с\vartheta)_v .$$

При условии, что воздух состоит из 79 % азота и 21 % кислорода, а также имеет определенное влагосодержание, энталпия продуктов сгорания:

$$I_{kce} = V_{RO_2}(c\vartheta)_{RO_2} + V_{H_2O}(c\vartheta)_{H_2O} + V_{N_2}(c\vartheta)_{N_2} + V_{O_2}(c\vartheta)_{O_2} = \\ = (V_{RO_2}c_{RO_2} + V_{H_2O}c_{H_2O} + V_{N_2}c_{N_2} + V_{O_2}c_{O_2}) \cdot \vartheta_{kce} = \vartheta_{kce} \cdot \sum V_e c_e ,$$

где  $V_{N_2} = V_{N_2}^o + 0,79 \cdot (\alpha - 1)V_e^o$ ;  $V_{O_2} = 0,21 \cdot (\alpha - 1)V_e^o$ .

Таким образом, уравнение теплового баланса (3.1) преобразуется следующим образом:

$$Q_p \cdot \frac{100 - \sum q_i^{kce}}{100} = \vartheta_{kce} \cdot \sum V_e c_e . \quad (2.2)$$

Решение уравнения теплового баланса (2.2) относительно температуры в камере сгорания  $\vartheta_{kce}$  в явном виде не имеет решения, поскольку входящие в это уравнение теплоемкости продуктов сгорания сами являются функцией температуры  $\vartheta_{kce}$ .

Определить  $\vartheta_{kce}$  можно, используя метод *последовательных приближений*, или *графоаналитический* метод (рис. 2.2).

Из уравнения теплового баланса температура на выходе из камеры сгорания:

$$\vartheta_{kce} = Q_p \cdot \frac{100 - \sum q_i^{kce}}{100} \cdot \frac{1}{\sum V_e c_e} , \text{ } ^\circ\text{C} .$$

Запишем эту зависимость в виде двух функций:

$$\begin{cases} y_1 = \vartheta_{kce} \\ y_2 = Q_p \cdot \frac{100 - \sum q_i^{kce}}{100} \cdot \frac{1}{\sum V_e c_e} . \end{cases}$$

Решение задачи относительно  $\vartheta_{kce}$  сводится к нахождению условий, при которых  $y_1 = y_2$ . Значение  $y_1$  и  $y_2$  рассчитываются не менее чем по трем значениям  $\vartheta_{kce}$ , близким к ожидаемому. Пересечение прямой  $y_1$  и расчетной кривой  $y_2$  дает искомую температуру на выходе из камеры сгорания  $\vartheta_{kce}$ .

Средние теплоемкости воздуха и продуктов сгорания, в зависимости от температуры, приведены в табл. 2.5, при этом принимается  $c_{RO_2} = c_{CO_2}$ .

Рассмотрим пример, проиллюстрированный на рис. 2.2.

Исходные (расчетные) данные:

- располагаемое тепло топлива  $Q_p = 19800 \text{ кДж/кг}$ ,
- суммарные потери в камере сгорания  $\sum q_i^{kce} = 1,2 \%$ ,
- объемы продуктов сгорания: трехатомные газы  $V_{RO_2} = 0,95 \text{ м}^3/\text{кг}$ , водяные пары  $V_{H_2O} = 1,207 \text{ м}^3/\text{кг}$ , азот  $V_{N_2} = 4,51 \text{ м}^3/\text{кг}$ , кислород  $V_{O_2} = 0,11 \text{ м}^3/\text{кг}$ .

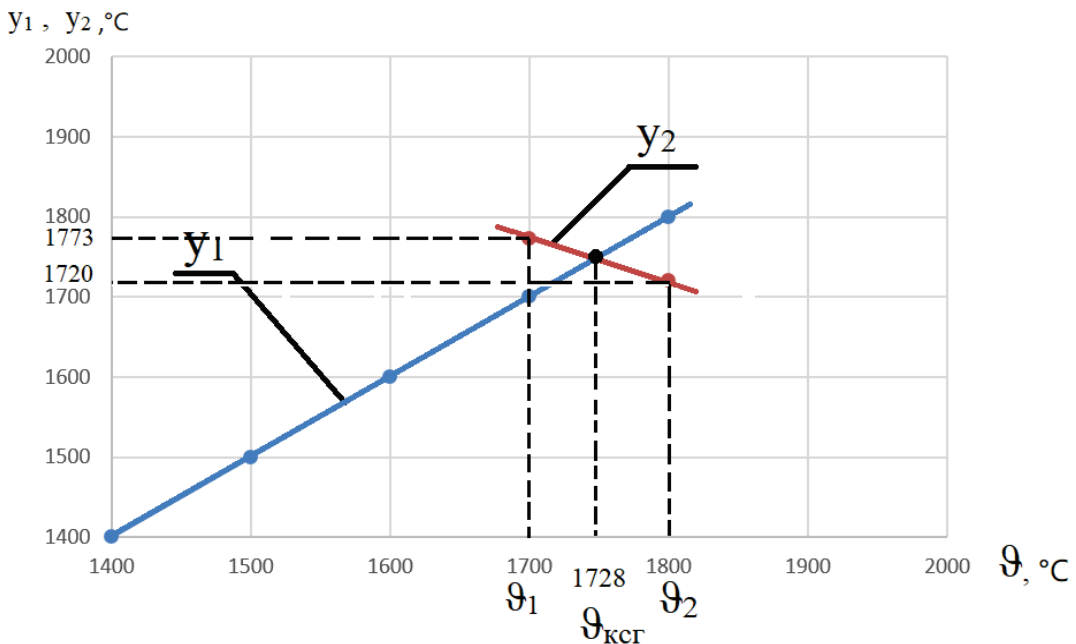


Рисунок 2.2 – Графоаналитический метод определения температуры в камере сгорания

Принимаем температуру  $\vartheta_{kce} = y_1 = 1700$  °C.

Из табл. 2.2 находим теплоемкости газов при данной температуре и рассчитываем  $y_2 = 1773$  °C.

$$\begin{cases} y_1 = 1700 \\ y_2 = Q_p \cdot \frac{100 - \sum q_i^{kce}}{100} \cdot \frac{1}{\sum V_i c_i} = \\ = 19830 \cdot \frac{100 - 1,2}{100} \cdot \frac{1}{2,3761 \cdot 0,95 + 1,901 \cdot 1,207 + 1,4623 \cdot 4,51 + 1,5474 \cdot 0,11} = 1773 \end{cases}$$

Принимаем ближайшее табличное значение температуры, превышающее 1773 °C  $\rightarrow \vartheta_{kce} = y_1 = 1800$  °C.

Из табл. 2.5 находим теплоемкости газов при данной температуре и определяем  $y_2 = 1720$  °C.

$$\begin{cases} y_1 = 1800 \\ y_2 = Q_p \cdot \frac{100 - \sum q_i^{kce}}{100} \cdot \frac{1}{\sum V_i c_i} = \\ = 19830 \cdot \frac{100 - 1,2}{100} \cdot \frac{1}{2,3933 \cdot 0,95 + 1,9228 \cdot 1,207 + 1,4698 \cdot 4,51 + 1,5553 \cdot 0,11} = 1720 \end{cases}$$

На пересечении прямых находится примерное значение температуры в камере сгорания 1728 °C (см. рис. 2.2).

*Примечание: если расчетная температура  $y_2$  меньше принятой  $y_1$  (например, 1666 °C), то целесообразно принять ближайшее меньшее табличное значение температуры (например, 1600 °C).*

Для уточнения путем линейной интерполяции определяются теплоемкости газов при температуре 1728 °C и рассчитывается уточненное значение действительной температуры.

Теплоемкость дымовых газов, кДж/(м<sup>3</sup>·°C)

	CO <sub>2</sub>	N <sub>2</sub>	O <sub>2</sub>	H <sub>2</sub> O
<b>1700</b>	2,3761	1,4623	1,5474	1,9010
<b>1728</b>	2,3809	1,4644	1,5496	1,9071
<b>1800</b>	2,3933	1,4698	1,5553	1,9228

$$\left\{ \begin{array}{l} y_1 = 1728 \\ y_2 = Q_p \cdot \frac{100 - \sum q_i^{**}}{100} \cdot \frac{1}{\sum V_i c_i} = \\ = 19830 \cdot \frac{100 - 1,2}{100} \cdot \frac{1}{2,3809 \cdot 0,95 + 1,9071 \cdot 1,207 + 1,4644 \cdot 4,51 + 1,5496 \cdot 0,11} = 1728 \end{array} \right.$$

*Адиабатическая* температура в камере сгорания рассчитывается аналогично при условии отсутствия теплообмена с окружающей средой (в нашем случае – при условии  $q_5 = 0$ ), а *теоретическая* (максимально возможная) – при условии полного сгорания и отсутствия теплообмена с окружающей средой, т.е. когда  $\sum q = 0$ .

В рамках курсовой работы определяется температура горения для трех видов топлива: уголь, мазут, газ.

Исходные данные (состав топлива) приведены в соответствующих таблицах.

### ЧАСТЬ 3. РАСЧЕТ ГАЗОВОЙ ГОРЕЛКИ

Точный расчет газовых горелок представляет собой задачу неоправданной сложности, поэтому практикой разработаны различные методы приближенного расчета, которые дают вполне приемлемые результаты [2, 3].

Большое распространение в энергетических установках получили газовые горелки, в которых воздушный поток поперечно пересекается мелкими струями газа, при этом газ может подаваться по центральной трубе (горелка типа «труба в трубе») (рис. 3.1а) или с периферии (рис. 3.1.б).

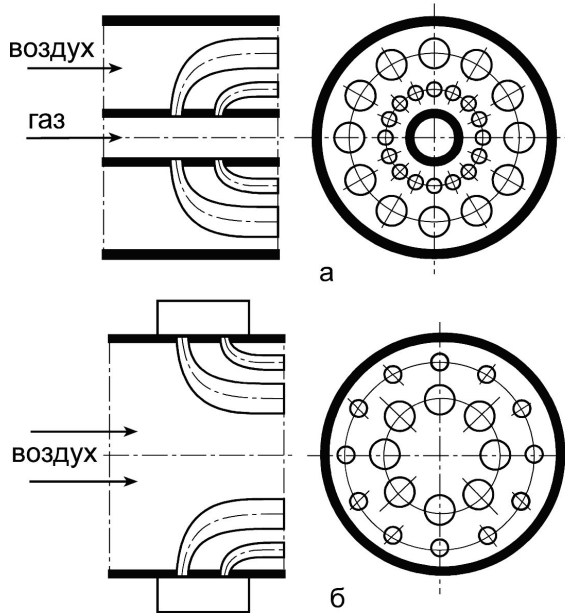


Рисунок 3.1 – Схемы подачи газа в поперечный поток воздуха:  
а – по центру, б – с периферии

Струи газа по мере проникновения в поток воздуха будут сноситься этим потоком. При достижении определенного расстояния от стенки газового коллектора  $h$  осевая линия струи газа будет совпадать с направлением сносящего потока воздуха. Это расстояние называется **глубиной проникновения струи** в сносящий поток и зависит от диаметра сопла  $d_c$  вытекающей струи и отношения скоростей ( $W_e$ ,  $W_a$ ) и плотностей ( $\rho_e$ ,  $\rho_a$ ) газа и воздуха. Для более равномерного распределения газовых струй по сечению горелки и для лучшего смешения газа с воздухом газовые сопла выполняются **в два ряда**, причем первый (по ходу воздуха) ряд сопел имеет **больший диаметр**, чем второй.

Базовой формулой при расчете таких горелок является полученная на основании многочисленных экспериментов Ю. В. Ивановым зависимость для определения **относительной глубины проникновения газовых струй** в поперечный поток воздуха:

$$\frac{h}{d_c} = K_s \frac{W_e}{W_a} \sqrt{\frac{\rho_e}{\rho_a}}, \quad (3.1)$$

где  $K_s$  – эмпирический коэффициент, зависящий от относительного шага между соплами, расположенными в одном ряду.

На рисунке 3.2 представлен примерный характер геометрии струй газа, истекающих в поперечный поток воздуха.

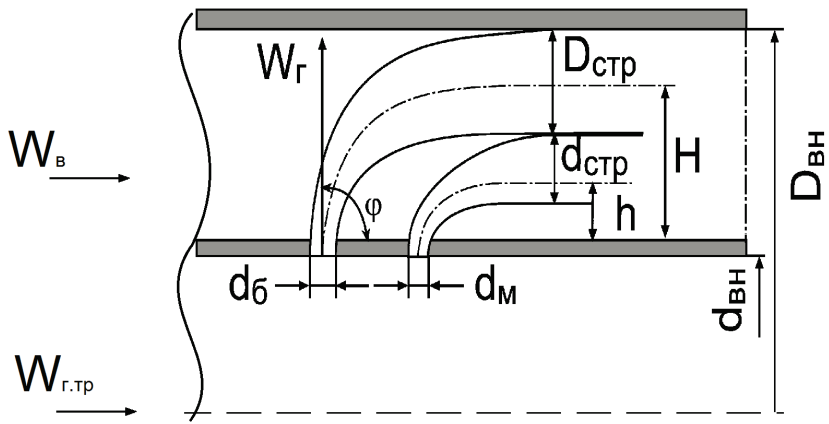


Рисунок 3.2 – Схема распространения струй газа в поперечном потоке воздуха

Под действием воздушного потока траектория струи искривляется, и сама струя становится шире за счет диффузионного размытия. В том сечении, где ось струи газа принимает направление потока воздуха, ее условный диаметр, согласно опытным данным, составляет:

$$d_{cstr} = 0,75h. \quad (3.2)$$

Отверстия (сопла) для выхода газа должны быть расположены таким образом, чтобы струи в том сечении, где они принимают направление потока, перекрывали все сечение.

При расчете газовых горелок для определения глубины проникновения струи по формуле (3.1) приходится предварительно задаваться значениями скоростей газа и воздуха, а также исходить из полученных опытным путем рекомендаций.

### Методика расчета газовой горелки

Принципиальная схема горелки типа “труба в трубе” представлена на рисунке 3.3.

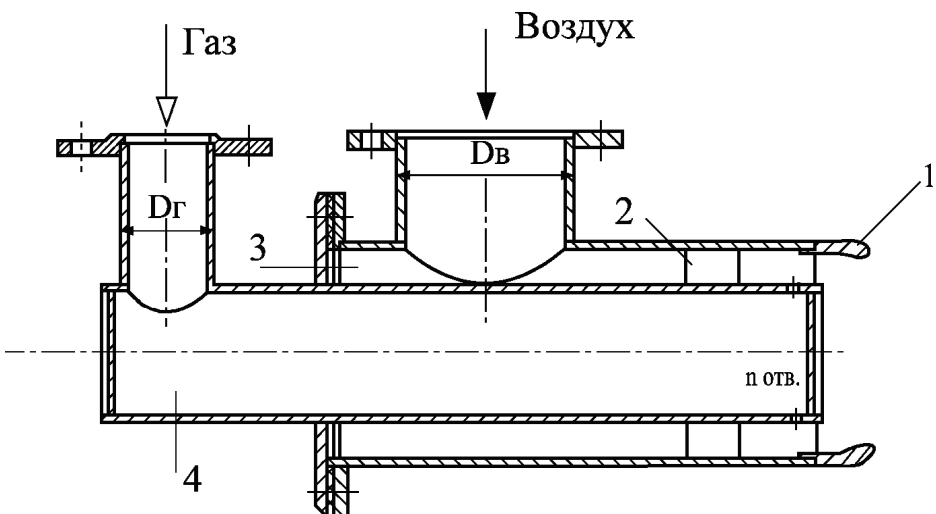


Рисунок 3.3 – Коаксиальная горелка типа «труба в трубе»:  
1 – огневой насадок с пережимом, 2 – лопатки, 3 – воздушная камера,  
4 – газовый коллектор

## **Исходные данные для расчета**

Состав газа по объему – см. таблицу 2.3.

Исходные данные приведены в таблице 3.1:

Мощность горелки,  $N$ , Гкал/час.

Коэффициент избытка воздуха,  $\alpha$ .

Скорость воздуха,  $W_v$ , м/с.

Скорость газа на выходе из сопел,  $W_r$ , м/с.

Скорость газа в трубе (в газовом коллекторе),  $W_{r,тр}$ , м/с.

Температура воздуха,  $t_v$ , °C.

Температура газа,  $t_r$ , °C.

## **Порядок расчета**

1. Согласно материальному балансу процесса горения газа, определяется объем воздуха, теоретически необходимого для сжигания газа  $V^o$ , м<sup>3</sup>/м<sup>3</sup> [2].

2. Действительный объем воздуха  $V$  определяется с учетом коэффициента избытка воздуха [2].

3. Теплота сгорания газа  $Q_i^d$  рассчитывается в соответствии с его составом по формуле, приведенной в [1].

4. Объемный расход газа  $G_e^o$ , нм<sup>3</sup>/с, определяется исходя из мощности горелки

$$N = Q_i^d \cdot G_e^o,$$

где  $N$  – мощность горелки, МВт,

$Q_i^d$  – теплота сгорания газа, МДж/м<sup>3</sup>.

5. Действительный объемный расход газа (при заданной температуре газа),  $G_r$ , м<sup>3</sup>/с

$$G_r = G_e^o \cdot \frac{t_r + 273}{273}.$$

6. Действительный объемный расход воздуха (при заданной температуре воздуха),  $G_v$ , м<sup>3</sup>/с

$$G_v = V \cdot G_e^o \cdot \frac{t_v + 273}{273}.$$

7. Из уравнения расхода газа определяется внутренний диаметр газоподводящей трубы (газового коллектора) (рис. 3.2)  $d_{вн}$ :

$$G_e = \frac{\pi d_{вн}^2}{4} \cdot W_{e,mp},$$

где  $W_{e,mp}$  – скорость газа в коллекторе.

8. Наружный диаметр газового коллектора

$$d_n = d_{вн} + 2\delta_{ст},$$

где толщина стенки газового коллектора  $\delta_{ст} = 4$  мм.

9. Из уравнения расхода воздуха:

$$G_{\delta} = \frac{\pi}{4} (D_{\text{вн}}^2 - d_{\text{h}}^2) \cdot W_{\delta}$$

определяется внутренний диаметр наружной воздухоподводящей трубы  $D_{\text{вн}}$ .

10. Определение глубины проникновения больших и малых струй газа в воздушный поток.

При расчете глубины проникновения струй газа, истекающих из больших и малых сопел, исходят из предположения, что в том сечении, где большие и малые струи принимают направление потока воздуха, они соприкасаются друг с другом, а внешняя граница больших струй достигает внешней границы кольцевого канала. При этом диаметры струй, согласно формуле (3.2):

$$D_{\text{cmp}} = 0,75H \quad \text{и} \quad d_{\text{cmp}} = 0,75h.$$

Из схемы распространения струй в кольцевом канале (рис. 3.2) следует, что глубина проникновения

*больших струй*

$$H + \frac{D_{\text{cmp}}}{2} = \frac{D_{\text{вн}} - d_{\text{h}}}{2} \rightarrow H + 0,375H = \frac{D_{\text{вн}} - d_{\text{h}}}{2} \rightarrow H = \frac{D_{\text{вн}} - d_{\text{h}}}{2,75},$$

$$\text{а малых } h + \frac{d_{\text{cmp}}}{2} = H - \frac{D_{\text{cmp}}}{2} \rightarrow h + 0,375h = H - 0,375H \rightarrow$$

$$h = \frac{0,625}{1,375} H.$$

11. По формуле (3.1) определяются диаметры *больших*  $d_{\delta}$  и *малых сопел*  $d_m$  (при этом принимается  $K_s=1,6$ ).

12. Принимая, что, согласно рекомендациям, при центральной подаче газа 80 % его объема подается через большие сопла, а 20 % – через малые, определяются геометрические характеристики горелки:

суммарная площадь больших и малых сопел

$$\sum f_{\delta} = 0,8 \frac{G_{\varepsilon}}{W_{\varepsilon}}, \quad \sum f_m = 0,2 \frac{G_{\varepsilon}}{W_{\varepsilon}};$$

количество больших и малых сопел

$$n_{\delta} = \frac{4 \sum f_{\delta}}{\pi d_{\delta}^2}, \quad n_m = \frac{4 \sum f_m}{\pi d_m^2};$$

шаг установки больших и малых сопел

$$S_{\delta} = \frac{\pi d_{\text{h}}}{n_{\delta}}, \quad S_m = \frac{\pi d_{\text{h}}}{n_m}.$$

*Количество больших и малых сопел принимается кратным 4.*

13. Определить расход условного топлива (без учета потерь) [1].

*Рекомендации:*

Необходимо перевести теплоту сгорания газа с МДж/м<sup>3</sup> на МДж/кг, предварительно рассчитав плотность газа.

## **БИБЛИОГРАФИЧЕСКИЙ СПИСОК**

1. Белоусов, В. Н. Топливо и процессы горения в теплоэнергетических установках. В 3 ч. Ч. 1.: учебное пособие / В. Н. Белоусов, С. Н. Смородин, В. Д. Цимбал. – СПб.: ВШТЭ СПбГУПТД, 2020. – 147 с. – ISBN 978-5-91646-211-1. – Текст: непосредственный.
2. Белоусов, В. Н. Топливо и процессы горения в теплоэнергетических установках. В 3 ч. Ч. 2.: учебное пособие / В. Н. Белоусов, С. Н. Смородин, В. Д. Цимбал. – СПб.: ВШТЭ СПбГУПТД, 2020. – 151 с. – ISBN 978-5-91646-238-8. – Текст: непосредственный.
3. Белоусов, В. Н. Топливо и процессы горения в теплоэнергетических установках. В 3 ч. Ч. 3.: учебное пособие / В. Н. Белоусов, С. Н. Смородин, В. Д. Цимбал. – СПб.: ВШТЭ СПбГУПТД, 2020. – 154 с. – ISBN 978-5-91646-211-6. – Текст: непосредственный.
4. Белоусов, В. Н. Топливо и теория горения: учебное пособие / В. Н. Белоусов, В. В. Сергеев. – СПб.: изд-во Политехн. ун-та, 2014. – 231 с.
5. Белоусов, В. Н., Основы сжигания газа: учебное пособие / В. Н. Белоусов, С. Н. Смородин, О. С. Смирнова. – СПб.: СПбГТУРП, 2009. – 70 с.: ил. 15.
6. Тепловой и аэродинамический расчеты котельных установок : учебное пособие / С. Н. Смородин, А. Н. Иванов, В. Н. Белоусов, В. Ю. Лакомкин. – СПб.: ВШТЭ СПбГУПТД, 2018. – 200 с. – ISBN 978-5-91646-150-3. – Текст: непосредственный.

## ПРИЛОЖЕНИЕ

Таблица 1.1

Состав рабочей массы твердого топлива, %

№	W <sup>r</sup>	A <sup>r</sup>	S <sup>r</sup>	C <sup>r</sup>	H <sup>r</sup>	N <sup>r</sup>	O <sup>r</sup>
1	10.5	17.9	1.7	55.8	3.7	0.6	9.8
2	14.5	21.4	1.2	48.4	3.3	0.8	10.4
3	22.0	13.3	0.5	50.1	2.6	0.5	11.0
4	28.0	14.4	0.9	44.4	2.4	0.5	9.4
5	19.0	8.1	0.7	55.0	3.1	0.6	13.5
6	29.5	9.2	1.0	47.2	2.2	0.5	10.4
7	21.5	14.1	1.2	47.3	3.0	0.6	12.3
8	33.0	6.0	0.2	43.7	3.0	0.6	13.5
9	39.0	7.3	0.4	37.6	2.6	0.4	12.7
10	33.0	4.7	0.2	44.3	3.0	0.4	14.4
11	44.0	6.7	0.5	34.3	2.4	0.4	11.7
12	33.5	8.0	0.4	41.5	2.9	0.6	13.1
13	40.5	6.8	0.4	36.6	2.6	0.4	12.7
14	37.0	4.4	0.2	41.9	2.9	0.4	13.2
15	14.0	15.5	0.5	54.9	3.7	1.4	10.0
16	13.0	27.0	1.1	45.9	3.4	0.7	8.9
17	25.0	12.8	0.4	46.0	3.3	0.9	11.6
18	22.0	14.8	0.9	46.6	3.7	0.9	11.1
19	23.5	16.8	0.5	43.9	3.2	0.7	11.4
20	22.0	12.5	0.3	46.5	3.3	0.7	14.7
21	23.0	15.4	0.5	47.5	3.4	0.9	9.3
22	8.0	9.2	0.6	67.9	4.7	0.8	8.8
23	33.5	9.6	0.5	42.7	2.8	0.9	10.0
24	33.0	10.0	0.2	41.6	2.8	0.7	11.7
25	40.5	8.6	0.3	36.4	2.3	0.5	11.4
26	37.5	9.4	0.3	37.7	2.3	0.6	12.2
27	47.5	7.9	0.3	30.4	1.7	0.5	12.2
28	7.5	29.6	0.4	50.9	3.6	0.6	7.4
29	6.0	33.8	0.4	46.1	3.6	0.5	9.6
30	5.5	34.0	0.4	49.8	3.2	0.8	6.3

Таблица 2.1

## Состав рабочей массы твердого топлива, %

№	Бассейн (Месторождение)	Марка	W <sup>r</sup>	A <sup>r</sup>	S <sup>r</sup>	C <sup>r</sup>	H <sup>r</sup>	N <sup>r</sup>	O <sup>r</sup>
1	Канско-Ачинский (Итатское)	1Б	40,5	6,8	0,4	36,6	2,6	0,4	13,8
2	Кузнецкий (Кузбасс)	Д	11,5	15,9	0,4	56,4	4,0	1,9	9,9
3	Печорский (Воркутинское)	Ж	8,0	29,4	1,0	52,6	3,3	1,5	4,2
4	Канско-Ачинский (Ирша-Бородинское)	2Б	33,0	7,9	0,2	42,6	3,0	0,6	13,2
5	Канско-Ачинский (Гусиноозерское)	3Б	26,0	18,5	0,4	39,4	2,8	0,6	12,3
6	Якутия (Галимовское)	А	10,0	20,7	0,6	63,7	1,6	0,8	2,6
7	Якутия (Аркагалинское)	Д	17,0	17,4	0,3	48,9	3,3	0,7	12,4
8	Кузнецкий (Кузбасс)	СС	9,0	18,2	0,4	60,8	3,6	1,5	6,5
9	Якутия (Харанга)	Т	12,0	13,2	0,4	67,5	3,4	1,0	2,5
10	Канско-Ачинский (Каахемское)	Г	5,0	14,3	0,4	65,0	4,8	1,0	9,5
11	Канско-Ачинский (Азейское)	3Б	25,0	16,5	0,5	42,7	3,1	0,9	11,3
12	Кузнецкий (Кузбасс)	К	8,5	33,9	0,3	49,5	2,8	1,4	3,6
13	Кузнецкий (Кузбасс)	Д	18,0	17,2	0,4	48,3	3,2	1,4	11,5
14	Партизанский (Дальний Восток)	Т	5,0	28,5	0,5	58,8	2,7	0,7	3,8
15	Якутия (Нерюнгирское)	СС	10,0	19,8	0,2	60,0	3,1	0,6	6,3
16	Партизанский (Дальний Восток)	Ж	5,5	32,1	0,4	52,7	3,2	0,7	5,4
17	Кузнецкий (Кузбасс)	СС	8,5	16,5	0,4	60,8	3,6	1,5	6,5
18	Кузнецкий (Кузбасс)	Д	15,0	17,0	0,4	53,4	3,5	1,6	9,1
19	Донецкий (Украина)	А	8,5	34,8	1,5	52,2	1,0	0,5	1,5
20	Канско-Ачинский (Назаровское)	2Б	39,0	7,9	0,4	37,2	2,5	0,5	12,5
21	Кузнецкий (Кузбасс)	Г	8,5	16,9	0,4	60,1	4,2	2,0	7,9
22	Кизеловский (Урал)	Ж	6,0	32,0	5,3	48,6	3,5	0,6	4,0
23	Южно-уральский бассейн (Бабаевское)	1Б	56,0	10,1	0,9	23,2	2,1	0,2	7,5
24	Якутия (Нерюнгриное)	К	8,0	25,8	0,3	57,6	3,1	0,5	4,7
25	Кузнецкий (Кузбасс)	Т	7,0	14,6	0,5	70,2	3,0	1,7	3,0

26	Канско-Ачинский (Мугунское)	3Б	22,0	15,6	0,9	46,0	3,6	0,9	11,0
27	Кузнецкий (Кузбасс)	А	10,0	16,2	0,4	68,8	1,5	0,8	2,3
28	Канско-Ачинский (Березовское)	2Б	33,0	4,7	0,2	44,2	3,1	0,4	14,4
29	Кузнецкий (Кузбасс)	Т	9,7	20,3	0,3	61,4	2,1	1,5	4,7
30	Канско-Ачинский (Черемховское и Забитуйское)	Д	15,0	29,8	0,9	42,5	3,1	0,6	8,1

Таблица 2.2

## Состав мазута

Состав рабочей массы топлива, %	
Углерод, C <sup>r</sup>	из расчета
Водород, H <sup>r</sup>	10 + 0,1·n
Сера, S <sup>r</sup>	0,5 + 0,2·m
Азот + Кислород, N <sup>r</sup> + O <sup>r</sup>	0,2 + 0,05·m
Зольность, A <sup>r</sup>	от 0,03 до 0,06
Влажность, W <sup>r</sup>	0,15 + 0,1·n

Здесь: m – первая цифра зачетки, n – последняя цифра зачетки.

Таблица 2.3

## Состав газообразного топлива

№	Состав газа, об.%					
	CH <sub>4</sub>	C <sub>2</sub> H <sub>6</sub>	C <sub>3</sub> H <sub>8</sub>	C <sub>4</sub> H <sub>10</sub>	N <sub>2</sub>	CO <sub>2</sub>
1	84,5	3,8	1,9	1,2	7,8	0,8
2	90,4	3,6	2,6	1,1	2,2	0,1
3	91,9	2,1	1,3	0,5	3	1,2
4	93,8	2,0	0,8	0,4	2,6	0,4
5	92,8	2,8	0,9	0,5	2,5	0,5
6	91,2	3,9	1,2	0,6	2,6	0,5
7	89,7	5,2	1,7	0,6	2,7	0,1
8	85,8	0,2	0,1	0,1	13,7	0,1
9	98,9	0,3	0,1	0,1	0,4	0,2
10	95,6	0,7	0,4	0,4	2,8	0,1
11	98,5	0,2	0,1	0,0	1,0	0,2
12	92,8	3,9	1,1	0,5	1,6	0,1
13	92,8	3,9	1,0	0,7	1,5	0,1
14	94,1	3,1	0,6	1,0	1,2	0,0
15	81,7	5,3	2,9	1,2	8,8	0,1
16	97,1	0,3	0,1	0,0	2,4	0,1
17	95,4	2,6	0,3	0,4	1,1	0,2
18	85,9	6,1	1,5	1,4	5,0	0,1
19	95,5	2,7	0,4	0,3	1,0	0,1
20	94,0	2,8	0,4	0,4	2,0	0,4
21	98,2	0,4	0,1	0,1	1,0	0,2
22	68,5	14,5	7,6	4,5	3,5	1,4
23	96,1	0,7	0,1	0,1	2,8	0,2
24	93,2	1,9	0,8	0,4	3,0	0,7
25	81,5	8,0	4,0	2,8	3,2	0,5
26	93,9	3,1	1,1	0,4	1,3	0,2
27	94,9	3,2	0,4	0,2	0,9	0,4
28	91,9	2,4	1,1	0,9	3,2	0,5
29	93,2	2,6	1,2	0,7	2,0	0,3
30	93,8	3,6	0,7	0,6	0,7	0,6

Таблица 2.4

## Расчетные характеристики камеры сгорания

Топливо	Коэффициент избытка воздуха на выходе из камеры сгорания, $\alpha$	Потери теплоты с химическим недожогом, $q_3$ , %	Потери теплоты с механическим недожогом, $q_4$ , %
Антрацит	1,2 – 1,25	0,5 – 1	3 – 6
Тощий уголь	1,2 – 1,25	0,5 – 1	2 – 5
Каменный уголь	1,2 – 1,25	0,5 – 1	2 – 4
Бурый уголь	1,15 – 1,2	0 – 0,5	1 – 3
Мазут	1,05 – 1,1	0,5	0
Природный газ	1,05 – 1,1	0,5	0

Таблица 2.5

## Теплоемкости газов и воздуха

t, °C	C <sub>CO2</sub>	C <sub>N2</sub>	C <sub>O2</sub>	C <sub>H2O</sub>
	кДж/(м <sup>3</sup> ·°C)			
0	1.601	1.295	1.307	1.495
100	1.702	1.297	1.319	1.506
200	1.789	1.301	1.336	1.523
300	1.864	1.308	1.357	1.544
400	1.931	1.317	1.378	1.567
500	1.990	1.329	1.399	1.590
600	2.042	1.341	1.418	1.616
700	2.09	1.355	1.435	1.642
800	2.133	1.368	1.451	1.669
900	2.170	1.380	1.466	1.697
1000	2.205	1.393	1.479	1.724
1100	2.237	1.404	1.490	1.751
1200	2.265	1.415	1.502	1.778
1300	2.291	1.426	1.512	1.804
1400	2.315	1.436	1.521	1.829
1500	2.337	1.445	1.530	1.854
1600	2.357	1.454	1.539	1.877
1700	2.376	1.462	1.547	1.901
1800	2.393	1.470	1.555	1.923
1900	2.409	1.477	1.563	1.944
2000	2.424	1.484	1.570	1.964
2100	2.438	1.490	1.577	1.984
2200	2.450	1.496	1.584	2.002
2300	2.462	1.502	1.591	2.020

Таблица 3.1

Данные для расчета газовой горелки типа «труба в трубе»

№	N	$\alpha$	$W_B$	$W_G$	$t_B$	$t_R$	$W_{G,тр}$
	МВт	-	м/с	м/с	°C	°C	м/с
1	5	1,05	25	110	30	10	20
2	10	1,06	25	120	30	10	20
3	15	1,07	25	130	30	10	20
4	20	1,08	25	140	30	10	20
5	25	1,09	25	150	30	10	20
6	30	1,10	20	140	30	10	15
7	25	1,09	20	130	30	10	15
8	20	1,08	20	120	30	10	15
9	15	1,07	20	110	30	10	15
10	10	1,06	20	100	30	10	15
11	5	1,05	25	110	30	10	20
12	10	1,06	25	120	30	10	20
13	15	1,07	25	130	30	10	20
14	20	1,08	25	140	30	10	20
15	25	1,09	25	150	30	10	20
16	30	1,10	20	140	30	10	15
17	25	1,09	20	130	30	10	15
18	20	1,08	20	120	30	10	15
19	15	1,07	20	110	30	10	15
20	10	1,06	20	100	30	10	15
21	5	1,05	25	110	30	10	20
22	10	1,06	25	120	30	10	20
23	15	1,07	25	130	30	10	20
24	20	1,08	25	140	30	10	20
25	25	1,09	25	150	30	10	20
26	30	1,10	20	140	30	10	15
27	25	1,09	20	130	30	10	15
28	20	1,08	20	120	30	10	15
29	15	1,07	20	110	30	10	15
30	10	1,06	20	100	30	10	15